

บทที่ 2

หลักการและทฤษฎี

2.1 หลักการและทฤษฎีของเทอร์โมไซฟอน

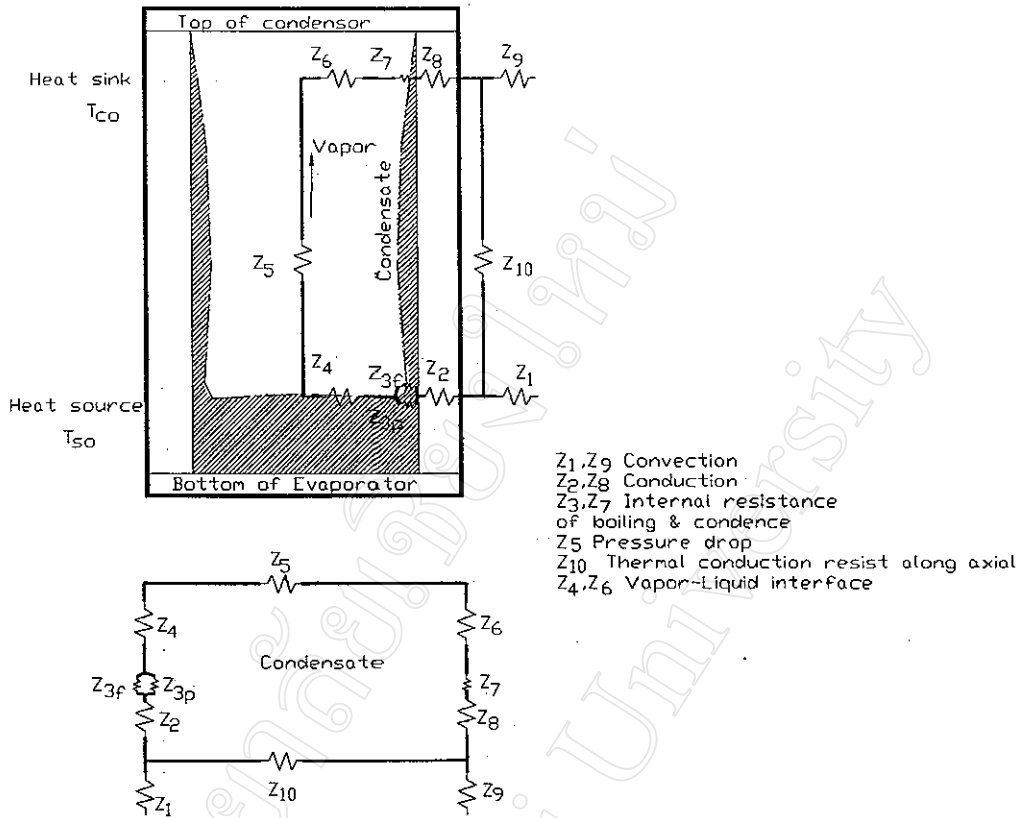
หลักการทำงานของเทอร์โมไซฟอนคือ ความร้อนจากส่วนที่ระเหยจะทำให้สารทำงานซึ่งมีสถานะเป็นของเหลวอิมัลชันตัวเปลี่ยนสถานะกลายเป็นไอ และลอยขึ้นสู่ด้านบนไปยังส่วนควบแน่นซึ่งมีอุณหภูมิต่ำกว่า หลังจากนั้นจะเกิดการควบแน่นกลายเป็นของเหลวและไหลกลับสู่ส่วนที่ระเหยด้วยแรงโน้มถ่วงของโลก เนื่องจากความร้อนแฝงของการกลายเป็นไอของสารทำงานมีค่าสูงมาก ดังนั้นสารทำงานจึงสามารถถ่ายเทความร้อนจากปลายด้านหนึ่งไปสู่ปลายอีกด้านหนึ่งได้ โดยที่อุณหภูมิระหว่างส่วนที่ระเหยและส่วนควบแน่นแตกต่างกันเพียงเล็กน้อย

ความสามารถในการถ่ายเทความร้อนของท่อเทอร์โมไซฟอนนั้น ขึ้นอยู่กับหลายปัจจัยด้วยกัน เช่น ขนาดของท่อ วัสดุที่ใช้ทำท่อ ลักษณะการติดตั้งท่อ ชนิดของสารทำงาน อุณหภูมิของแหล่งความร้อนและแหล่งความเย็น เป็นต้น ซึ่งถ้ากล่าวถึงปัจจัยต่าง ๆ เหล่านี้แล้ว ก็จะมีตัวแปรต่าง ๆ ที่เกี่ยวข้องกับปัจจัยเหล่านี้ ซึ่งมีความสำคัญเป็นอย่างยิ่งในขั้นตอนการคำนวณเกี่ยวกับ ลักษณะการถ่ายเทความร้อนของเทอร์โมไซฟอน ตัวแปรต่าง ๆ นั้น ได้แก่ อัตราส่วนสนทัด คือ สัดส่วนความยาวของส่วนที่ระเหยต่อขนาดเส้นผ่านศูนย์กลางของท่อ อัตราส่วนการเติม คือ ปริมาณสารทำงานที่เติม พิจารณาจากปริมาตรของสารทำงานที่เติมในท่อเทียบกับปริมาตรของส่วนที่ระเหย สัมประสิทธิ์การถ่ายเทความร้อน คือ ตัวเลขที่บอกถึงค่าความสามารถในการถ่ายเทความร้อน ต่อหน่วยพื้นที่ ในช่วงอุณหภูมิแตกต่างกันหนึ่งค่า ตัวเลขของบอนด์ (Bond number) คือ ตัวเลขที่บอกถึงขนาดเส้นผ่านศูนย์กลางของท่อความร้อนที่มีผลต่อการถ่ายเทความร้อน เป็นต้น

ดังนั้นเมื่อเทอร์โมไซฟอนทำงานโดยการที่สารทำงานรับความร้อนจากส่วนที่ระเหยแล้ว กลายเป็นไอไปถ่ายเทความร้อนออกที่ส่วนควบแน่น เราสามารถหาความสัมพันธ์ระหว่างค่าการถ่ายเทความร้อนจริง (Q) ค่าความต้านทานความร้อนรวม (Z) และผลต่างระหว่างอุณหภูมิแหล่งความร้อนกับแหล่งรับความร้อน (ΔT) จากสมการ ที่ (2.1)

$$Q = \frac{\Delta T}{Z} \quad (2.1)$$

โดยที่ ค่าความร้อนที่สามารถถ่ายเทได้สามารถหาได้จากการหาค่าความต้านทานรวมทั้งหมด (Z) ที่เกิดในระบบโดยพิจารณาจากรูป 2.1



รูป 2.1 ความต้านทานในส่วนต่างๆ ที่เกิดในท่อความร้อน (ESDU1038)

เมื่อ Z_1, Z_9 คือ ความต้านทานที่เกิดจากการพาความร้อนโดยรอบผนังภายนอกท่อ ซึ่งหาได้จากสมการ

$$Z_1 = \frac{1}{h_{co} A_{co}} \tag{2.2}$$

$$Z_9 = \frac{1}{h_{co} A_{co}} \tag{2.3}$$

Z_2, Z_8 คือ ค่าความต้านทานความร้อนที่เกิดจากการนำความร้อนผ่านผนังท่อความร้อน ซึ่งหาได้จากสมการ

$$Z_2 = \frac{\ln(D_o/D_i)}{2\pi L_c k_x} \tag{2.4}$$

$$Z_8 = \frac{\ln(D_o/D_i)}{2\pi L_c k_x} \quad (2.5)$$

Z_3, Z_7 คือ ความต้านทานภายในเนื่องจากของเหลวที่เป็นสารทำงานภายในท่อความร้อน โดยแยกเป็น

Z_{3p} คือ ความต้านทานของของเหลวที่เกิดจากแอ่งของเหลวหาได้จากสมการ

$$Z_{3p} = \frac{1}{\phi_{3g}^{0.2} Q^{0.4} (\pi D_i L_e)^{0.5}} \quad (2.6)$$

Z_{3f} คือ ความต้านทานของของเหลวที่เกิดจากฟิล์มของเหลวที่แอ่งของเหลวในส่วนทำระเหยหาได้จากสมการ

$$Z_{3f} = \frac{CQ^{1/3}}{D_i^{4/3} g^{1/3} L_e \Phi_2^{4/3}} \quad (2.7)$$

เมื่อ

$$\Phi_2 = \left(\frac{Lk_1^3 p_1^2}{\mu_1} \right)^{1/4} \quad (2.8)$$

และเงื่อนไขในการใช้ค่า Z_{3p} และ Z_{3f} เพื่อใช้เป็นค่า Z_3 คือ

ถ้า $Z_{3p} > Z_{3f}$ แล้ว

$$Z_3 = Z_{3p} \quad (2.9)$$

ถ้า $Z_{3p} < Z_{3f}$ แล้ว

$$Z_3 = Z_{3p} F + Z_{3f} (1-F) \quad (2.10)$$

เมื่อ F คือ อัตราการเติมสารทำงานโดย

$$F = \frac{V_1}{AL_c} \quad (2.11)$$

Z_7 คือ ความต้านทานของของเหลวที่เกิดจากฟิล์มของเหลวที่ไหลกลับในส่วน
ควบแน่นหาได้จากสมการ

$$Z_7 = \frac{CQ^{1/3}}{D_i^{4/3} g^{1/3} L_c \Phi_2^{4/3}} \quad (2.12)$$

Z_4, Z_6 คือ ความต้านทานที่เกิดจากการเปลี่ยนสถานะของสารทำงาน ในส่วนทำระเหยและ
ในส่วนคายความร้อน

Z_5 คือ ค่าความต้านทานซึ่งเกิดจากความดันที่ลดลงในส่วนควบแน่น
ซึ่งค่า Z_4, Z_5 และ Z_6 โดยปกติจะมีค่าน้อยมาก และไม่นำมาคิดในการคำนวณ

Z_{10} คือ ค่าการนำความร้อนของท่อความร้อนตามแนวความยาวท่อ (Axial) ซึ่งในเงื่อนไข
ข้อที่กำหนดที่จะทำการคำนวณในครั้งนี้จะไม่คิดค่าดังกล่าว
ซึ่งจากเงื่อนไขที่กำหนด จะได้

$$Z = Z_1 + Z_2 + Z_3 + Z_7 + Z_8 + Z_9 \quad (2.13)$$

หลังจากได้ค่าความต้านทานของการถ่ายเทความร้อนแล้ว สามารถหาค่าความร้อนที่ท่อ
ความร้อนสามารถถ่ายเทได้โดย ตามสมการ (2.1)

$$Q = \frac{\Delta T}{Z}$$

เมื่อ ΔT คือ ค่าความแตกต่างของอุณหภูมิระหว่างแหล่งให้ความร้อนกับแหล่ง
ความรับความร้อน หาได้จากสมการ

$$\Delta T = T_{so} - T_{si} - \Delta T_h \quad (2.14)$$

$$\Delta T_h = \frac{(T_p - T_v) \times F}{2} \quad (2.15)$$

$$T_p = T_v + \left(L_c F \times \frac{dT_s}{dH} \right) \quad (2.16)$$

$$T_v = T_{si} + \frac{(Z_7 + Z_8 + Z_9)}{Z} (T_{so} - T_{si}) \quad (2.17)$$

$$\frac{dT_s}{dH} = \frac{T_s g}{L} \left[\frac{\rho_l}{\rho_v} - 1 \right] \quad (2.18)$$

หลังจากคำนวณค่า Q เริ่มต้นแล้วต้องทำการย้อนการคำนวณด้วยวิธีลองผิดลองถูก (Trial & Error) จนกว่าค่าคำตอบที่ได้ออกมาจะเป็นค่าที่เป็นจริง (Exact) จึงใช้ค่า Q จากการคำนวณนั้นมาใช้เปรียบเทียบกับผลการทดสอบ

2.2 แบบจำลองการทำนายการกระจายอุณหภูมิที่ผิวภายในท่อเทอร์โมไซฟอน

Shiraishi et al., (1982) ได้ทำการศึกษาคุณลักษณะการถ่ายเทความร้อนของเทอร์โมไซฟอนสองสถานะแบบปิด โดยใช้ข้อมูลจากผลการทดสอบควบคู่กับแบบจำลองทางคณิตศาสตร์ในลักษณะ เอ็มพิริคัล เพื่อศึกษาความสามารถของท่อเทอร์โมไซฟอนที่ใช้น้ำ เอทานอล และ R113 เป็นสารทำงาน และสร้างแบบจำลองของการทำนายการกระจายอุณหภูมิที่ผิวภายในท่อเทอร์โมไซฟอนโดย แยกพิจารณาค่าสัมประสิทธิ์การถ่ายเทความร้อนในเทอร์โมไซฟอนเป็น 3 ส่วน คือ ส่วนควบแน่น ส่วนที่เป็นแอ่งของเหลว และส่วนที่อยู่เหนือแอ่งของเหลว โดยที่ส่วนควบแน่นนั้น ใช้ทฤษฎีการควบแน่นที่ผนังส่วนควบแน่นของ Nusselt มาเป็นแบบจำลองดังแสดงในสมการที่ (2.19)

$$\bar{h}_c \frac{(v^2/g)^{1/3}}{k} = (4/3)^{4/3} R_{e,c}^{-1/3} \quad (2.19)$$

และนำสมการนี้มาวิเคราะห์ผลร่วมกับผลจากการทดสอบ ซึ่งทั้งสองวิธีมีผลที่สอดคล้องกันเป็นอย่างดี จากนั้นหาสัมประสิทธิ์การถ่ายเทความร้อนที่บริเวณแอ่งของเหลวในระบบปิดซึ่งมีลักษณะคล้ายกับระบบเปิดตามสมการที่ (2.20)

$$h_p(\text{close}) \propto h_p(\text{open}) \left(\frac{P}{P_a} \right)^n \quad (2.20)$$

เมื่อเปรียบเทียบกับระบบเปิดแล้ว ได้ค่าคงที่จากผลของการทดสอบดังในสมการที่ (2.23)

$$h_p(\text{close}) = 0.32 \frac{\rho^{0.65} k^{0.3} C_p^{0.7} g^{0.2}}{\rho_v^{0.25} \lambda^{0.4} \mu^{0.1}} \left(\frac{P}{P_a} \right)^{0.23} q_e^{0.4} \quad (2.21)$$

ที่บริเวณฟิล์มเหนียวของเหลวนั้น Shiraishi et al., (1982) ได้ทำการเปรียบเทียบสัมประสิทธิ์การถ่ายเทความร้อนโดยใช้ทฤษฎีของ Nusselt มาเป็นพื้นฐานของแบบจำลองดังสมการที่ (2.22)

$$\bar{h}_f \frac{(v^2/g)^{1/3}}{k} = (4/3)^{4/3} R_e^{-1/3} = h_f^* , \quad q_e < q_e^* \quad (2.22)$$

$$h_p = h_f , \quad q_e \geq q_e^* \quad (2.23)$$

และใช้สมการจากแบบจำลองร่วมกับข้อมูลการทดสอบ เพื่อทำนายค่าการกระจายอุณหภูมิที่ผิวภายในท่อเทอร์โมไซฟอนโดยอาศัยความสัมพันธ์ดังแสดงในสมการที่ (2.24) และ (2.25)

$$T = f_s(P) \quad (2.24)$$

$$P(x) = P_v + \rho g(L_p - x) \quad (2.25)$$

ซึ่งเมื่อทราบอุณหภูมิไอ การกระจายอุณหภูมิภายในสามารถหาได้ดังสมการที่ (2.26) และ (2.27)

$$T_i(x) = f_s(P(x)) , \quad 0 < x < L_p \quad (2.26)$$

$$T_i(x) = f_s(P_v) = T_v , \quad L_p < x \quad (2.27)$$

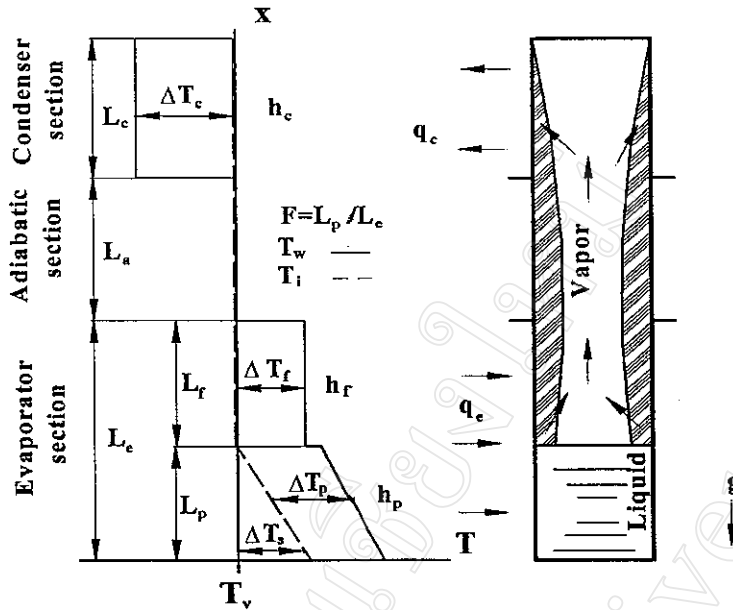
และเมื่อทราบค่าสัมประสิทธิ์การถ่ายเทความร้อนที่ส่วนต่าง ๆ จากผลการทดสอบแล้ว การกระจายอุณหภูมิที่ผนังภายในดังแสดงในรูป 2.2 สามารถหาได้ดังสมการที่ (2.28) ถึง (2.31)

$$T_w(x) = T_i(x) + q_e/h_p , \quad 0 < x < L_p \quad (2.28)$$

$$T_w(x) = T_i(x) + q_e/h_f , \quad L_p < x < L_e \quad (2.29)$$

$$T_w(x) = T_i(x) , \quad L_e < x < L_e + L_a \quad (2.30)$$

$$T_w(x) = T_i(x) - q_c/h_c, \quad L_c + L_a < x \quad (2.31)$$



รูป 2.2 แสดงแบบจำลองที่ใช้ทำนายการกระจายอุณหภูมิที่ผิวภายใน (Shiraishi et al., (1982))

2.3 หลักการและทฤษฎีของท่อความร้อนแบบหมุน

2.3.1 คุณลักษณะการถ่ายเทความร้อนของท่อความร้อนแบบหมุน

หากพิจารณาแล้วอาจกล่าวได้ว่าแรงเนื่องจากความเร่งเข้าสู่ศูนย์กลางสามารถมาแทนที่แรงเนื่องจากความเร่งเข้าสู่ศูนย์กลางของโลกของเทอร์โมไซฟอนแบบธรรมดา โดยที่อนุมานเอาว่าความสัมพันธ์ในการถ่ายเทความร้อนและมวลในสนามของการหมุนนั้นอาจจะหาได้จากการแทนค่าแต่ก็เป็นการประมาณค่าอย่างคร่าว ๆ เท่านั้น ซึ่งในความเป็นจริงแล้วปรากฏการณ์การไหลภายในแรงเนื่องจากความเร่งเข้าสู่ศูนย์กลางอาจทำให้การไหลแบบราบเรียบหรือซับซ้อนเกิดการแปรเปลี่ยนและไม่เสถียร ดังนั้น Greenspan 1969 ได้ทำการศึกษาพฤติกรรมของท่อความร้อนแบบหมุนที่มีการไหลภายในแบบสถานะเฉื่อย โดยสร้างแบบจำลองทางคณิตศาสตร์ เพื่อทำนายหาสมรรถนะทางความร้อนของท่อความร้อนแบบหมุน โดยใช้ระบบพิกัดแบบขั้วตั้งอยู่กับที่หรือว่าเป็นลักษณะการหมุนก็ได้ เพื่อจะเปรียบเทียบกับท่อความร้อนที่อยู่กับที่หรือเทอร์โมไซฟอนกับท่อความร้อนแบบหมุนซึ่งอนุมานว่ามีความเร็วการหมุนที่คงที่ และพิจารณาการวิเคราะห์การไหลและการถ่ายเทความร้อนในระบบพิกัดที่หมุนด้วยความเร็ว ω โดยพิจารณาจากสมการ

$$V_{in} = V + \omega \times R \quad (2.32)$$

โดยที่ V_{in} เป็นความเร็วในระบบพิกัดที่หยุดนิ่ง สมการหลักในการไหลแบบราบเรียบของของไหลที่ไม่ยุบตัวจะสามารถคำนวณจาก

1. สมการความต่อเนื่อง (Continuity Equation)

$$\nabla \cdot \mathbf{V} = 0 \quad (2.33)$$

2. สมการการเคลื่อนที่ (Momentum Equation)

$$\rho \left(\frac{\partial \mathbf{V}}{\partial t} + \frac{1}{2} \nabla (\mathbf{V} \cdot \mathbf{V}) + (\nabla \times \mathbf{V}) \times \mathbf{V} + 2\boldsymbol{\omega} \times \mathbf{V} + \boldsymbol{\omega} \times (\boldsymbol{\omega} \times \mathbf{R}) \right) = -\nabla P + \rho \mathbf{g} - \mu [\nabla \times (\nabla \times \mathbf{V})] \quad (2.34)$$

3. สมการพลังงาน (Energy Equation)

$$\frac{\partial \theta}{\partial t} + (\mathbf{V} \cdot \nabla) \theta = \kappa \nabla^2 \theta \quad (2.35)$$

โดยที่ $\theta = T - T^{\circ}$ และ T° เป็นอุณหภูมิอ้างอิง

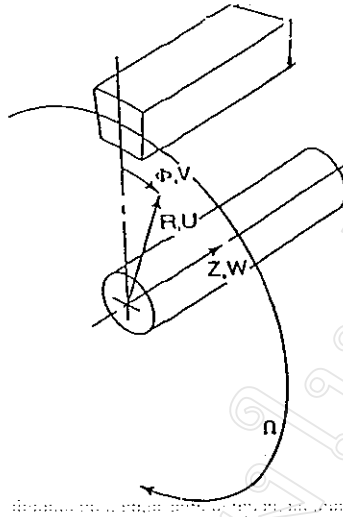
ดังที่ได้กล่าวข้างต้นถึงขนาดของความสัมพัทธ์ของความเร่งตามแรงโน้มถ่วงและแรงเหวี่ยง นั้นเป็นสิ่งที่สำคัญสำหรับพฤติกรรมใด ๆ ซึ่งจะต้องพิจารณาสองพจน์แรกก็คือ

$$\mathbf{G} = \mathbf{g} - \boldsymbol{\omega} \times (\boldsymbol{\omega} \times \mathbf{R}) \quad (2.36)$$

จะสังเกตเห็นว่าสมการของการเคลื่อนที่นี้สามารถเขียนใหม่ให้อยู่ในรูปของ \mathbf{G} ได้ดังนี้

$$\rho \left(\frac{\partial \mathbf{V}}{\partial t} + (\mathbf{V} \cdot \nabla) \mathbf{V} + 2\boldsymbol{\omega} \times \mathbf{V} \right) = -\nabla P + \rho(1 - \beta\theta)\mathbf{G} + \mu \nabla^2 \mathbf{V} \quad (2.37)$$

จะเห็นได้ว่าเป็นรูปแบบของแบบที่ไม่ยุบตัวของสมการแบบต่อเนื่อง (2.33) และสังเกตเห็นว่าความเร่งของ Coriolis คือ $2\boldsymbol{\omega} \times \mathbf{V}$ นั้นไม่อยู่ในรูปที่เหมาะสมสำหรับระบบพิกัดคงที่



รูปที่ 2.3 แสดงพิกัดการหมุนและองค์ประกอบความเร็วในระบบที่หมุนรอบแกนด้วยความเร็ว ω
(Lock,1992)

ในพิกัดแบบทรงกระบอกซึ่งหมุนด้วยความเร็วที่รอบแกน Z ดังแสดงในรูป 2.3 จะสามารถเขียนสมการการเคลื่อนที่ได้ใหม่ดังนี้

สมการการเคลื่อนที่ตามแนวแกน

$$\frac{\partial W}{\partial t} + U \frac{\partial W}{\partial R} + \frac{V}{R} \frac{\partial W}{\partial \phi} + W \frac{\partial W}{\partial Z} = -\frac{1}{\rho} \frac{\partial P'}{\partial Z} - \beta \theta G_z + \nu \left(\frac{\partial^2 W}{\partial R^2} + \frac{1}{R} \frac{\partial W}{\partial R} + \frac{\partial^2 W}{\partial Z^2} + \frac{1}{R^2} \frac{\partial^2 W}{\partial \phi^2} \right) \quad (2.38)$$

สมการการเคลื่อนที่ตามแนวรัศมี

$$\frac{\partial U}{\partial t} + U \frac{\partial U}{\partial R} + \frac{V}{R} \frac{\partial U}{\partial \phi} + W \frac{\partial U}{\partial Z} - 2\omega V = -\frac{1}{\rho} \frac{\partial P'}{\partial R} - \beta \theta G_R + \nu \left(\frac{\partial^2 U}{\partial R^2} + \frac{1}{R} \frac{\partial U}{\partial R} + \frac{\partial^2 U}{\partial Z^2} + \frac{1}{R^2} \frac{\partial^2 U}{\partial \phi^2} \right) \quad (2.39)$$

สมการการเคลื่อนที่ตามแนว Azimuthal

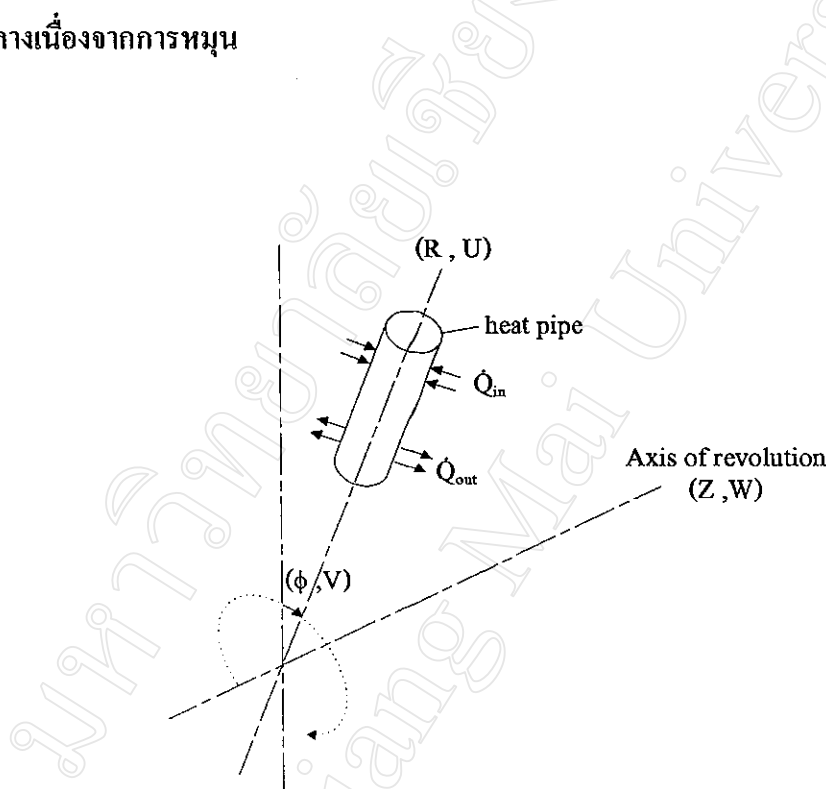
$$\frac{\partial V}{\partial t} + U \frac{\partial V}{\partial R} + \frac{V}{R} \frac{\partial V}{\partial \phi} + W \frac{\partial V}{\partial Z} - 2\omega U = -\frac{1}{\rho R} \frac{\partial P'}{\partial \phi} - \beta \theta G_\phi + \nu \left(\frac{\partial^2 V}{\partial R^2} + \frac{1}{R} \frac{\partial V}{\partial R} + \frac{\partial^2 V}{\partial Z^2} + \frac{1}{R^2} \frac{\partial^2 V}{\partial \phi^2} \right) \quad (2.40)$$

ในสมการจะมีเทอมของ $P' = P - P^0$ เป็นความแตกต่างที่คิดจากความดัน Hydrostatic P^0 ซึ่งคำนวณได้จาก $\nabla P^0 = \rho^0 G$ จะเห็นว่าเป็นรูปแบบที่สอดคล้องกับสมการความต่อเนื่องและสม

การพลังงานซึ่งอธิบายได้ถึงการพาความร้อนในท่อหมุนเมื่อมีการวัดระยะทางและความเร็วเปรียบเทียบกับผนังท่อ

2.3.2 คุณลักษณะการถ่ายเทความร้อนของท่อความร้อนแบบหมุนตามแนวรัศมี (RRHP)

เมื่อพิจารณาท่อความร้อนแบบหมุนตามแนวรัศมีอย่างง่ายแสดงดังรูป 2.4 จากรูปสามารถแบ่งท่อความร้อนออกเป็นสองส่วนหลัก ๆ คือส่วนทำระเหยและส่วนควบแน่น โดยที่ส่วนทำระเหยจะเป็นส่วนที่อยู่ปลายนอกสุดของรัศมีการหมุนซึ่งมีสารทำงานที่เป็นของเหลวสะสมอยู่ ขณะทำงานส่วนทำระเหยรับความร้อนที่แหล่งให้ความร้อนทำให้สารทำงานระเหยกลายเป็นไอและไปควบแน่นที่ส่วนควบแน่นกลายเป็นของเหลวไหลกลับส่วนทำระเหยโดยอาศัยแรงเนื่องจากความเร่งเข้าสู่ศูนย์กลางเนื่องจากการหมุน



รูป 2.4 ท่อความร้อนแบบหมุนตามแนวรัศมี

ในส่วนนี้จะพิจารณาท่อความร้อนแบบหมุนตามแนวรัศมีอย่างง่าย ตามรูปที่ 2.4 โดยกำหนดว่าอิทธิพลของแรงเนื่องจากความเร่งเข้าสู่ศูนย์กลางเฉพาะแกน R เท่านั้นคือ

$$G_z = 0, \quad G_R = R\omega^2, \quad G_\phi = 0 \quad (2.41)$$

ดังนั้นในเทอมของแรงลอยตัวของความร้อน (Thermal buoyancy) $\beta\theta G$ สามารถจัดรูปใหม่ได้
ว่า $(\Delta\rho/\rho)G$ ดังนั้นเมื่อแทนค่าลงในสมการหลักจะได้ว่า

สมการการเคลื่อนที่ตามแนวรัศมี (Radial momentum)

$$U \frac{\partial U}{\partial R} - \frac{V}{R} \frac{\partial U}{\partial \phi} - 2\omega V = -\frac{1}{\rho} \frac{\partial P'}{\partial R} - R\omega^2 \frac{\Delta\rho}{\rho} + v \left(\frac{\partial^2 U}{\partial R^2} + \frac{1}{R} \frac{\partial U}{\partial R} + \frac{1}{R^2} \frac{\partial^2 U}{\partial \phi^2} \right) \quad (2.42)$$

สมการการเคลื่อนที่ตามแนวตั้งฉากกับแนวรัศมี (Tangential momentum)

$$U \frac{\partial V}{\partial \phi} - \frac{V}{R} \frac{\partial V}{\partial \phi} - 2\omega U = -\frac{1}{\rho R} \frac{\partial P'}{\partial \phi} + v \left(\frac{\partial^2 V}{\partial R^2} + \frac{1}{R} \frac{\partial V}{\partial R} + \frac{1}{R^2} \frac{\partial^2 V}{\partial \phi^2} \right) \quad (2.43)$$

ดังนั้นหากพิจารณาในพิกัด (R, U) และ (X, U) กับ (ϕ, V) และ (Y, V) ซึ่งจะสามารถเขียน
ในรูปแบบของสมการหลักได้ดังนี้ คือ

สมการความต่อเนื่อง

$$\frac{\partial U}{\partial X} + \frac{\partial V}{\partial Y} = 0 \quad (2.44)$$

สมการการเคลื่อนที่ตามแนวรัศมี

$$U \frac{\partial U}{\partial X} - V \frac{\partial U}{\partial Y} - 2\omega V = -\frac{1}{\rho} \frac{\partial P'}{\partial X} - R\omega^2 \frac{\Delta\rho}{\rho} + v \left(\frac{\partial^2 U}{\partial X^2} + \frac{\partial^2 U}{\partial Y^2} \right) \quad (2.45)$$

สมการการเคลื่อนที่ตามแนวตั้งฉากกับแนวรัศมี

$$U \frac{\partial V}{\partial X} - V \frac{\partial V}{\partial Y} - 2\omega U = -\frac{1}{\rho} \frac{\partial P'}{\partial Y} + v \left(\frac{\partial^2 V}{\partial X^2} + \frac{\partial^2 V}{\partial Y^2} \right) \quad (2.46)$$

สมการพลังงาน

$$U \frac{\partial \theta}{\partial X} + V \frac{\partial \theta}{\partial Y} = \kappa \left(\frac{\partial^2 \theta}{\partial X^2} + \frac{\partial^2 \theta}{\partial Y^2} \right) \quad (2.47)$$

โดยที่ $\kappa = \frac{\lambda}{\rho C_p}$ การแพร่กระจายทางความร้อน (Thermal diffusivity)

จากการกำหนดพิกัดแบบ Polar จะได้ว่าเป็นสัดส่วนกับพิกัดแบบ tangential $Y = \phi R$ โดยมีเงื่อนไขขอบเขตคือ $0 < Y < D$ ดังนั้นที่ $Y = 0$ คือการพิจารณาที่ผนังท่อด้านในไม่มีของไหล (trailing face) และในกรณีที่ $Y = D$ นั้นคือการพิจารณาว่าผนังท่อด้านในมีฟิล์มของเหลวเกาะติดอยู่ปริมาณมาก (leading face) ซึ่งจะสามารถประมาณค่าการถ่ายเทความร้อนในรูปของ Nusselt (Nu) ดังนี้

$$Nu_1 \text{ or } Nu_D = f \text{ Ar, Ja, Pr, Ek, } \frac{\omega^2 R}{g} \frac{L}{D} \quad (2.48)$$

โดยที่ $Nu_1 = qL/\theta\lambda$, $Nu_D = qD/\theta\lambda$ คือ ค่าอัตราส่วนของความร้อนทั้งหมดที่เข้าต่อการนำความร้อนที่ออก $\omega^2 R/g$ คือ เป็นอัตราส่วนความเร่งที่เกิดจากการหมุนต่อความเร่งเนื่องจากแรงโน้มถ่วงของโลก $Ar_L = R\omega^2 L^3 \Delta\rho/\rho V^2$, $Ar_D = R\omega^2 D^3 \Delta\rho/\rho V^2$ คือ อัตราส่วนของแรงลอยตัวต่อแรงเนื่องจากความหนืด $Ja = C_p \theta/h_{fg}$ คือ อัตราส่วนความร้อนสัมผัสต่อความร้อนแฝง $Pr = C_p \mu/\lambda$ คือ อัตราส่วนการกระจายตัวของโมเมนตัมต่อการกระจายตัวของความร้อน $Ek_L = \nu/\omega L^2$, $Ek_D = \nu/\omega D^2$ คือ เป็นตัวเลขของ Ekman ซึ่งเป็นอัตราส่วนของแรงเนื่องจากความหนืดและแรงเนื่องจากความเร่ง Coriolis $\frac{L}{D}$ คือ อัตราส่วนความยาวต่อความกว้างของท่อ

ถ้าหากว่าพิจารณาการไหลของเหลวที่ผนังท่อแล้วความเร่ง Coriolis จะมีผลสูงสุดในการเคลื่อนที่แบบสองสถานะ ถ้าหากเราให้ X, Y และ Z เป็นพิกัดการหมุนที่แสดงให้เห็นถึงทิศทางการเคลื่อนที่ตามแนวรัศมี แนวสัมผัส และแนวแกน ตามลำดับแล้ว สมการการเคลื่อนที่ตามแนวรัศมีภายใต้สภาวะการไหลแบบราบเรียบจะใช้การสมดุลระหว่างแรงลอยตัว Buoyancy force และแรงเนื่องจากความหนืดเป็นหลักที่กระทำต่อแผ่นฟิล์มจะได้ว่า

$$U^c = O\left(\frac{\omega^2 R \Delta\rho \delta^2}{\mu}\right) \quad (2.49)$$

โดยที่ δ เป็นความหนาของแผ่นฟิล์มที่ไม่ทราบค่าในสมการการเคลื่อนที่ตามแนวสัมผัส แรงเนื่องจากความหนืดจะถูกทำให้สมดุลโดยแรง Coriolis อัตราส่วนความเร็วตามแนวสัมผัสจะหาได้จาก

$$V^c = O\left(\frac{2U^c \omega \delta^2}{v}\right) \quad (2.50)$$

การสมดุลความร้อนที่รอยต่อนั้นจะทำให้สามารถหาค่าอัตราส่วนตามแนวแกนได้ คือ

$$W^c = O\left(\frac{\dot{q}}{\rho \lambda}\right) \quad (2.51)$$

อัตราส่วนที่ไม่ทราบค่านั้นจะเป็นแบบค่าสัมพัทธ์จะหาได้จากสมการความต่อเนื่องซึ่งจะหาได้จาก

$$W^c = O\left(\frac{\delta U^c}{L}\right) + O\left(\frac{2\delta V^c}{\pi D}\right) \quad (2.52)$$

โดยที่ L และ D เป็นความยาวและเส้นผ่านศูนย์กลางของท่อตามลำดับ ถ้าหากว่าเราอนุมานว่าพจน์ตามแนวรัศมีทางด้านขวามือของสมการ (2.49) มีค่ามากกว่าแล้วก็จะได้ว่า

$$\frac{\delta}{L} = O\left(\frac{\mu k \theta^c}{\omega^2 R L^3 \lambda \rho \Delta p}\right)^{1/4} = O\left(\frac{Ja}{Ar_L Pr}\right)^{1/4} \quad (2.53)$$

จากสมการ(2.53) จะสามารถประมาณค่าคุณลักษณะทางความร้อนในรูปแบบ Nusselt (Nu) ได้ดังนี้

คุณลักษณะทางความร้อนตามแนวความยาวท่อ โดยประมาณ

$$Nu_L = \frac{qL}{k\theta^c} = O\left(\frac{\omega^2 R L^3 \lambda \rho \Delta p}{\mu k \theta^c}\right)^{1/4} \quad (2.54)$$

คุณลักษณะทางความร้อนตามแนวเส้นผ่านศูนย์กลางท่อ โดยประมาณ

$$Nu_D = O\left(\frac{D}{L} \frac{Ar_D Pr}{Ja}\right)^{1/4} \quad (2.55)$$

ภายใต้สภาวะการนำต่อไปนี้ผลของแรง Coriolis ค่อนข้างน้อย อัตราส่วนความเร็วสัมพัทธ์ จะหาได้จากสมการ

$$\frac{V^c}{U^c} = O\left(\frac{2\omega\delta^2}{v}\right) = O\left[\frac{2}{Ek_L}\left(\frac{Ja}{Ar_L Pr}\right)^{1/2}\right] \ll 1 \quad (2.56)$$

ลักษณะนี้แผ่นฟิล์มจะเคลื่อนที่ในทิศทางของรัศมีไปสู่ส่วนทำระเหย องค์ประกอบตามแนวสัมผัสค่อนข้างน้อยจะทำให้ของเหลวไหลเข้าไปสู่ผิวด้านหลังของท่อ ซึ่งคล้ายกับพฤติกรรมของท่อเทอร์โมไซฟอนที่เชิงเล็กน้อยจากแนวตั้ง

ถ้าหากจะพิจารณาจากระบบภายใต้แรงโน้มถ่วงแล้ว จะสังเกตเห็นว่าเมื่อแรง Coriolis มีค่าค่อนข้างน้อย ๆ นั้น สมรรถนะของท่อความร้อนตามแนวรัศมีเพิ่มขึ้นเล็กน้อย ซึ่งภายใต้สภาวะดังกล่าวพบว่า

$$\frac{\delta}{D} = \left(\frac{Ek_D Ja}{Ar_D Pr}\right)^{1/6} \quad (2.57)$$

ซึ่งสามารถประมาณค่าการถ่ายเทความร้อน ได้ดังนี้

$$Nu_D = O\left(\frac{L}{DEk_D} \frac{DAr_D Pr}{LJa}\right)^{1/6} \quad (2.58)$$

2.4 ตัวแปรไร้มิติ

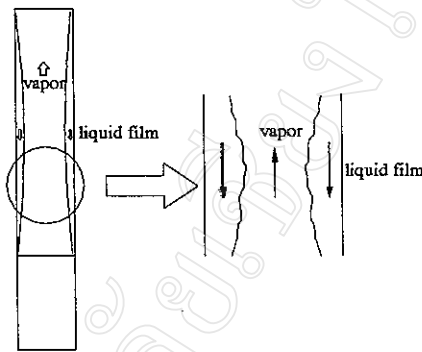
ในการหาความสัมพันธ์ของคุณลักษณะการถ่ายเทความร้อนของท่อความร้อนแบบหมุนตามแนวรัศมีนั้นจะเห็นได้ว่าการพิจารณาในรูปแบบของตัวแปรไร้มิติ เพื่อความสะดวกในการวิเคราะห์ ซึ่งตัวแปรไร้มิติจะไม่ขึ้นอยู่กับ ปริมาณ หรือมิติต่าง ๆ ทำให้การพิจารณา ครอบคลุมเงื่อนไขนั้นๆ ได้ทั้งหมดนั่นเอง

ดังนั้นกลุ่มของตัวแปรไร้มิติที่ใช้ในการศึกษานี้เป็นตัวแปรที่เกี่ยวข้องกับการไหลของของไหล 2 สถานะและการเดือดภายในของท่อความร้อนแบบหมุนตามแนวรัศมี ซึ่งจะมีตัวแปรไร้มิติที่สำคัญดังนี้คือ

ก.ปรากฏการณ์การไหลสวนทางของไอและของเหลว

- ตัวเลขของเวเบอร์ (Weber number) เป็นอัตราส่วนของแรงเนื่องจากความหนืดต่อแรงตึงผิว ของของไหลใด ๆ ดังรูปที่ 2.5 ซึ่งจะเกิดขึ้นที่ฟิล์มของไหลที่ผนังท่อความร้อนสามารถนิยามได้ดังนี้

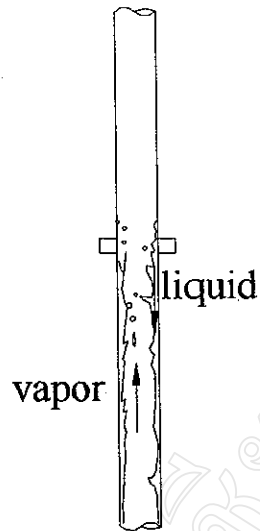
$$We = \frac{\rho V^2 l}{\sigma} \quad (2.59)$$



รูปที่ 2.5 ปรากฏการณ์ของตัวเลขของเวเบอร์

- ตัวเลขของฟรูด (Froude number) เป็นอัตราส่วนของแรงเฉื่อยต่อแรงเนื่องจากน้ำหนักของของไหลใด ๆ ดังรูปที่ 2.6 ซึ่งจะเกิดขึ้นที่ฟิล์มของไหลที่ผนังท่อความร้อนสามารถนิยาม ได้ดังนี้

$$Fr = \frac{V^2}{gl} \quad (2.60)$$



รูปที่ 2.6 ปราบกฎการณัของตัวเลขของฟรูด

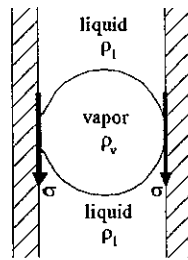
- ตัวเลขของแพรนดต์ (Prandtl number) เป็นอัตราส่วนของการแพร่กระจายของโมเมนต์ต่อต่อการแพร่กระจายความร้อนจากของไหลใด ๆ ซึ่งจะเกิดขึ้นที่ผนังของส่วนความแน่นของท่อความร้อนสามารถนิยามได้ดังนี้

$$Pr = \frac{C_p \mu}{k} \quad (2.61)$$

ข. ปราบกฎการณัการเดือด

- ตัวเลขของบอนด์ (Bond number) เป็นอัตราส่วนของแรงรอยตัวต่อแรงตึงผิวของของไหลใด ๆ ซึ่งจะเกิดขึ้นที่ส่วนทำระเหยของท่อความร้อนดังรูปที่ 2.7 สามารถนิยามได้ดังนี้

$$Bo = d \left[g \left(\frac{\rho_l - \rho_g}{\sigma} \right) \right]^{1/2} \quad (2.62)$$



รูปที่ 2.7 ปรากฏการณ์ตัวเลขของบอนด์

- ตัวเลขคูทาเทลาดเซ (Kutateladze number) เป็นอัตราส่วนของฟลักซ์ความร้อนที่ให้ต่อฟลักซ์ความร้อนวิกฤตของของไหลนั้น ซึ่งจะเกิดขึ้นที่ส่วนทำระเหยของท่อความร้อนสามารถนิยามได้ดังนี้

$$Ku = \frac{q_e}{\rho_v h_{fg} \left[\sigma g \left(\frac{\rho_l - \rho_v}{\rho_v^2} \right) \right]^{1/4}} \quad (2.63)$$

นอกจากนี้อาจมีตัวแปรไร้มิติอื่นที่เกี่ยวข้องด้วย เช่น ตัวแปรไร้มิติที่เกี่ยวข้องกับความเร็วการไหลของสารทำงาน คือ ตัวเลขของเรย์โนลด์ (Reynolds number) ฯลฯ